

## فرآیندهای نوین در مهندسی مواد

ma.iaumajlesi.ac.ir

دکراسیون نوری نانوذرات نقره بر روی تیتانیوم نیوبات نانوساختار به عنوان آند باتری لیتیوم بون

### مقاله پژوهشی

علیرضا رحمانی<sup>۱</sup>، مهدی خدایی<sup>۲\*</sup>

- ۱- دانشجوی دکتری، مهندسی مواد، دانشکده مهندسی و علم مواد، دانشگاه صنعتی خواجه نصیرالدین طوسی، تهران.  
۲- دانشیار، مهندسی مواد، دانشکده مهندسی و علم مواد، آزمایشگاه تحقیقاتی مواد پیشرفته و نانوفناوری، گروه تحقیقاتی مترونیک و مترونیک، دانشگاه صنعتی خواجه نصیرالدین طوسی، تهران.  
خودaei@kntu.ac.ir \*

### چکیده

در زمینه مواد آندی جایگزین برای گرافیت، ماده تیتانیوم نیوبات با استوکیومتری  $TiNb_2O_7$  و ساختار کربستالی نتو کلینیک یکی از موارد جالب توجه به شمار می‌آید. این ماده پتانسیل لیتیوم دار شدن بالای دارد که بهنoge خود باعث اینمی ذاتی و جلوگیری از احیاء بون‌های لیتیوم و در نهایت رشد بهصورت دندربیت‌های فلزی و ایجاد اتصال کوتاه داخلی می‌شود. برخلاف لیتیوم تیتانات گرافیت و پیوه جرمی این ماده قابل مقایسه با گرافیت و نسبت برای کاربردهای عملی است. در این تحقیق از رهیافت سل - ڈل بر اساس تجربه برای سنتر نانوساختار تیتانیوم نیوبات با کوپلر F127 به عنوان عامل هدایت ساختار استفاده شده است. سرامیک اکسیدی مضاعف به دست آمده نیمه‌هادی است و می‌توان آن را با تابش نور فرابنفش برای ایجاد حامل‌های بار و رسیدن آنها به سطح تحریک کرد. با استفاده از این پدیده، نانوذرات نقره به عنوان جزء افزایش‌دهنده هدایت سطحی بهصورت ترجیحی بر روی مراکز تجمع الکترون دکور می‌شوند. نمونه‌های به دست آمده با استفاده از روش‌های مختلف از جمله پراش پوتاکس پودری، تبدیل فوریه عبور فرسخ، میکروسکوپی الکترونی رویشی نشر میدان، آنالیز عصری بهصورت طیف ارزی اشعه ایکس و طیف سنجی بازتاب یکنشی مشخصه‌بایی شده‌اند. همچنین نیمپیل‌های سکمکای با استفاده از مواد حاصل ساخته شدند و تحت آزمون گالوانوستاتیک مشخص شد که با دکراسیون نانوذرات نقره بر روی مراکز تجمع الکترون سطحی می‌توان گرافیت باتری حاصل را تا بیش از ۲۵٪ برابر در نزد شارژ و دشارژ بالا (۱۰C) افزایش داد.

### اطلاعات مقاله

دریافت: ۱۴۰۳/۰۴/۰۳

پذیرش: ۱۴۰۳/۰۵/۲۷

کلید واژگان:

سل - ڈل

اکسید مضاعف

نقره

باتری لیتیوم بون

آندازه‌گیری

## Silver Photodecoration on Nanostructured Titanium Niobate as an Active Anode Material for Li-Ion Batteries

Alireza Rahmani<sup>1</sup>, Mehdi Khodaei<sup>2\*</sup>

1- Ph.D. Candidate, Department of Materials Science and Engineering, K.N. Toosi University of Technology, Tehran, Iran.

2- Associate Professor, Department of Materials Science and Engineering, K.N. Toosi University of Technology, Advanced Materials and Nanotechnology Research Lab, Faculty of Materials Science and Engineering, K. N. Toosi University of Technology, Materionics and Materionics Research Group, K. N. Toosi University of Technology, Tehran, Iran.

\* khodaei@kntu.ac.ir

### Article Information

Original Research Paper

Doi: 10.71753/ma.2025.1123448

### Keywords:

Sol-Gel

Mixed Oxide

Silver

Li-Ion Battery

Intercalation Anode.

### Abstract

Amongst alternatives for graphite as anode material, titanium niobate with  $TiNb_2O_7$  stoichiometry and monoclinic crystal structure is one of the most promising. This material offers high lithiation potential, leading to innate safety and hindering the reduction of lithium ions, which in extreme cases may lead to dendritic growth and catastrophic internal short-circuiting. Unlike LTO, the gravimetric specific capacity of TNO is comparable to graphite, making it a suitable candidate for practical applications. This report uses an evaporative sol-gel approach to synthesize nanostructured TNO using F127 as structure structure-directing agent. Obtained mixed oxide ceramic is a semiconductor; UV light can be utilized to excite charge carriers which in turn will migrate to the surface. Using this phenomenon, silver nanoparticles can be deposited on the electron-rich surface sites of TNO to enhance the interparticle electrical conductivity. The synthesized samples were characterized using various methods including powder X-ray diffractometry, Fourier transform infrared spectroscopy, field-emission scanning electron microscopy, elemental analysis by characteristic X-rays in a multichannel energy-dispersive mode, and diffuse reflectance spectroscopy. Finally, half-cells with the synthesized materials as working electrodes were assembled and put into galvanostatic charge/discharge tests. It was found that silver photodecoration onto to electron rich surface sites leads to a 2.5-fold increase in charge/discharge capacity in 10C rate.

برای ارجاع به این مقاله از عبارت ذیل استفاده نمایید:

### Please cite this article using:

Alireza Rahmani, Mehdi Khodaei, Silver Photodecoration on Nanostructured Titanium Niobate as an Active Anode Material for Li-Ion Batteries, New Process in Material Engineering, 2025, 19(1), 1-17.

## ۱- مقدمه

خاص مثل خودروهای برقی علاوه بر باتری لیتیوم یون از ابرخازن‌ها استفاده می‌شود تا جریان بالاتر و امکان ذخیره‌سازی ریجنراتیو انرژی مقدور شود [۱۰-۱۱]. استفاده از مواد ویژه آندی برای باتری‌های لیتیوم یون بسیار مهم است چرا که هنگام استفاده از فلز لیتیوم (نیم پیل)، رشد فلز احیاء شده به صورت دندانیتی صورت می‌گیرد و در شرایطی منجر به اتصال کوتاه داخلی خواهد شد. بدین ترتیب یک واکنش در رفت حرارتی روی کاتد آغاز می‌شود و باتری به علت داشتن الکتروولیت آلی آتش خواهد گرفت. به علاوه، آند ساخته شده از فلز لیتیوم از عمر سیکلی ضعیف رنج می‌برد. تلاش‌های عمدۀ برای بهبود آند‌های ساخته شده از فلز لیتیوم انجام شده [۱۲] ولی این موارد هنوز کاربرد گسترده ندارد.

از دیگر مواد تداخلی که به عنوان جایگزین گرافیت در نظر گرفته شده‌اند، لیتیوم تیتانات با استوکیومتری  $L_4Ti_5O_{12}$  موسوم به LTO طی سال‌های اخیر از نظر تجاری موفق بوده است. علی‌رغم قیمت بالاتر تیتانیوم، ولتاژ کمتر و ظرفیت کمتر (مقادیر تئوریک ۱۷۵ میلی‌آمپر ساعت بر گرم و ۶۰۰ میلی‌آمپر ساعت بر سانتی‌متر مکعب [۱۳])، این ماده ترکیبی از خواص پایداری حرارتی فوق العاده [۱۴]، نرخ بالا، ظرفیت حجمی نسبتاً بالا و طور عمر سیکلی بالا را ارائه می‌دهد. ظرفیت نرخی بالا و پایداری آند‌های لیتیوم تیتاناتی از مکانیزم تداخل بدون کرنش<sup>۱</sup> به همراه پتانسیل بالای لیتیوم‌دار شدن نشأت می‌گیرد. استحاله فازی ایجاد شده به علت ورود/خروج لیتیوم تنها به تغییر حجم اندک (۰/۲ درصد) در شبکه کریستالی اسپینلوئیدی لیتیوم تیتانات منجر می‌شود و فرایند لیتیوم‌دار شدن این ماده عملًا بدون کرنش است [۱۵-۱۷]. از نظر الکتروشیمیایی این پدیده خود را به صورت هیسترزیس ولتاژ کوچک در نمودار شارژ-دشارژ نشان می‌دهد. به علاوه پتانسیل تعادلی بالا (حدود ۱/۵۵ ولت نسبت به زوج ردوکس لیتیوم  $(Li^0/Li^+)$ ) به این ماده اجازه می‌دهد که در گستره ولتاژی بالاتر از یک ولت کار کند و بدین ترتیب تا حد زیادی از تشکیل و رشد لایه فصل مشترکی روی آند جلوگیری می‌شود؛ رخداد این پدیده

با پیشرفت فناوری و افزایش نیاز به باتری‌ها، در سال ۱۹۹۱ باتری‌های لیتیوم یون به دلیل حجم پائین، سبک بودن، داشتن چگالی انرژی و عمر سیکلی بالا و عملکرد بهتر نسبت به دیگر فناوری‌های موجود در بازار توسط شرکت سونی معرفی شدند [۱-۳]. لیتیوم سبک‌ترین عنصر فلزی است و همچنین دارای منفی‌ترین پتانسیل نسبت به الکتروود استاندارد هیدروژن است، بنابراین باتری‌های لیتیوم یون چگالی انرژی بالایی دارند. از این باتری‌ها به طور عمدۀ به عنوان منبع توان وسائل الکترونیکی قابل حمل به‌ویژه تلفن‌های همراه، رایانه‌های شخصی و همچنین وسائل نقلیه‌ی الکتریکی استفاده می‌شود. معمولاً مقدار انرژی به دست آمده در باتری‌ها نسبت به وزن آن‌ها (وات ساعت بر کیلوگرم) بیان می‌شود و این مقدار وابسته به پتانسیل پیل و ظرفیت باتری (آمپرساعت بر کیلوگرم) است. مواد فعال الکتروودی، به‌ویژه مواد آندی، تأثیر قابل توجهی بر خواص الکتروشیمیایی پیل نهایی دارند [۴].

الرامات اساسی برای مواد فعال الکتروودی در باتری‌های لیتیوم یون شامل ظرفیت بالا و برگشت‌پذیری، پایداری و انعطاف ساختاری مناسب، نفوذپذیری سریع نسبت به یون لیتیوم، عمر سیکلی طولانی، امنیت مناسب، مقرون به صرفه و دوستدار محیط‌زیست بودن است [۵, ۶]. کاتد‌های تجاری مواد میزبان لیتیوم با پتانسیل‌های ردوکس مثبت و بزرگ هستند حال آنکه گرافیت، معمول ترین آند مورد استفاده برای باتری‌های لیتیوم یون است. گرافیت به عنوان اولین و پرکاربردترین آند، پتانسیل کاری اندک، عمر سیکلی طولانی و قیمت ارزان را هم‌زمان ارائه می‌کند. غنی‌ترین ترکیب تداخلی گرافیت و لیتیوم با استوکیومتری  $LiC_6$  است که به ظرفیت ویژه ۳۷۲ میلی‌آمپر ساعت بر گرم و تراکم انرژی عملی کمتر از ایده‌آل به دست می‌دهد [۷-۸]. به علاوه نرخ انتقال یون لیتیوم در آند‌های گرافیتی معمولاً کمتر از  $10^{-6}$  سانتی‌متر مربع بر ثانیه است که تراکم آن با چیزی را کم می‌کند؛ نفوذ شیمیایی یون لیتیوم است که تراکم توان باتری را تعیین می‌کند [۹]. در کاربردهای

هدایت الکتریکی تیتانیوم نیوبات را می‌توان با افزودن مواد هادی مثل نانوذرات فلزی همچون نقره [۳۴-۳۵]، کربن‌ها [۳۶-۴۰] یا دیگر مواد دو بعدی [۴۱] افزایش داد. تمام این استراتژی‌ها برای افزایش بیشتر توانایی لیتیوم دار شدن و از دست دادن لیتیوم آندهای تیتانیوم نیوباتی در نرخ‌های چگالی جریان بالا بکار رفته‌اند.

بسیاری روش‌ها برای تولید نانوساختارهای تیتانیوم نیوبات به کار رفته‌اند [۴۲-۴۳]. برای مثال نانوساختارهای تیتانیوم نیوباتی در رهیافت سل-ژل با استفاده از الگوهای مختلفی برای هدایت ساختار نهایی به دست آمده‌اند. از جمله این الگوهای می‌توان به F127 [۴۴-۴۶]، سدیم دو دسیل سولفات [۴۷] از سورفکتانت‌های نرم، ذرات منظم پلی استایرن [۴۸] و نانولوله‌های کوپلیمری DVB-co-VBC [۴۹] از الگوهای فدایی و SBA-15 [۵۰] و آلومینی آندیک [۵۱] از موارد الگوی سخت اشاره کرد.

تحقیق حاضر در ادامه ادبیات موضوع و به منظور بررسی اثر هم‌زمان مهندسی مورفلوژی (الگوگذاری نرم در رهیافت سل ژل) و دکوراسیون نوری نانوذرات نقره بر رفتار الکتروشیمیایی تیتانیوم نیوبات انجام شده است. مورفلوژی نانوذرهای بسیار طریف باعث اشکال در عملکرد الکتروشیمیایی تیتانیوم نیوبات می‌شود [۵۲] به همین علت الگوی نرم F127 با جرم مولکولی ۱۲۵۰۰ دالتون برای ایجاد حفرات نسبتاً بزرگ انتخاب شد. از سوی دیگر هدایت الکتریکی بین ذرهای با دکوراسیون نانوذرات نقره بر روی مکان‌های غنی از الکترون روی سطح بهینه‌سازی شده است. نمونه‌های حاصل با روش‌های معمول مشخصه‌یابی مطالعه شده‌اند و در نهایت به صورت نیم پیل در برابر فلز لیتیوم به عنوان آند مورد آزمون الکتروشیمیایی شارژ و دشارژ گالوانوستاتیک در نرخ‌های مختلف قرار گرفته‌اند. نمونه دکور شده همچنین طی ۱۰۰ سیکل در نرخ شارژ و دشارژ ۱C مورد آزمون قرار گرفته است.

به نوبه خود می‌تواند دخول لیتیوم را آهسته‌تر کرده باعث از دست رفتن لیتیوم در آندهای گرافیتی شود. اگرچه لیتیوم تیتانات مشخصاً نفوذپذیری لیتیوم یا هدایت الکتریکی بالایی ندارد و به همین علت ماده خوبی برای با تری‌های لیتیوم یون انژری پایین اما توان و سیکل بالاست.

در مورد لیتیوم تیتانات از دست دادن مقدار ۱/۳ ولت در مقایسه با پنجره ولتاژ کاری گرافیت باعث کاهش قابل توجه چگالی انژری پیل نهایی می‌شود. در ابتدای دهه دوم قرن بیست و یک تلاش‌ها برای پیدا کردن جامدی به عنوان آند با ظرفیت بالاتر و ولتاژ کاری در محدوده ۱/۱ تا ۱/۵ ولت بر حسب زوج ردوکس لیتیوم شدت گرفت و اکسیدهای حاوی نیوبیوم مدنظر قرار گرفتند. از جمله این مواد می‌توان به اکسید نیوبیوم [۲۱-۲۰]، لیتیوم نیوبیوم اکسید [۲۱-۲۲]، پتاسیم نیوبیوم اکسید [۲۳-۲۴]، وانادیم نیوبیوم اکسید [۲۵] و تیتانیوم نیوبیوم اکسید (تیتانیوم نیوبات‌ها) اشاره کرد که در ادامه روی مورد اخیر تمکن خواهیم کرد.

تیتانیوم نیوبات با استوکیومتری  $TiNb_2O_7$  توسط گروه پژوهشی پروفسور گودایناف<sup>۲</sup> [۲۶-۲۷] به عنوان جایگزینی امیدوارکننده برای آندهای لیتیوم تیتانات با ظرفیت بالا پیشنهاد شد. تیتانیوم نیوبات در ساختار کریستالی مونوکلینیک خود دارای اتم‌های نیوبیوم و تیتانیوم به صورت بی‌نظم و یک فضای بینانی دو بعدی برای میزانی از یون لیتیوم است. علاوه بر این، زوج‌های ردوکس  $Ti^{4+}/Ti^{3+}$ ،  $Nb^{5+}/Nb^{4+}$  و  $Nb^{4+}/Nb^{3+}$  در این ماده ظرفیت ثوریک بالای  $387/6$  میلی‌آمپر ساعت بر گرم را به ارمنان می‌آورند. در عمل، تیتانیوم نیوبات ظرفیت برگشت‌پذیر ۲۸۰ میلی‌آمپر ساعت بر گرم در محدوده ولتاژ ۱/۰ تا ۲/۵ ولت نسبت به زوج ردوکس لیتیوم به دست می‌دهد که تقریباً دو برابر بیشتر از لیتیوم تیتانات در محدوده ولتاژ کاری مشابه است. اگرچه آندهای تیتانیوم نیوباتی ظرفیت ثوریک قابل توجهی دارند ولی موقعیت‌هایی برای افزایش ظرفیت و عملکرد نرخی آن‌ها وجود دارد. برای مثال با افزودن جاهای خالی یا اتم‌های خارجی (دوپن) به ساختار تیتانیوم نیوبات می‌توان هدایت یونی آن را افزایش داد [۲۸-۳۳]. علاوه

به محلول اضافه شود تا انحلال به صورت کامل و بدون باقی ماندن رسوب جامد انجام پذیرد. به منظور سنتز ماده نانومتخلخل به میزان ۱۰ درصد وزنی (نسبت به اکسید نهایی) از F127 توزین و به محلول واکنش اضافه می‌گردد. سپس محلول حاصل در دمای محیط و به مدت ۱ تا ۲ هفته (بسته به فصل و دمای آزمایشگاه) خشک می‌شود. خود سازمان یابی بر اساس تبخیر<sup>۳</sup> هر قدر آرام‌تر صورت بگیرد ذرات زیروژل<sup>۴</sup> با کیفیت تری به دست می‌آید که در ادامه باید تا حد ممکن به صورت مکانیکی خرد شوند و در کوره جعبه‌ای مافل با نرخ ۵ درجه بر دقیقه تا دمای ۹۰۰ درجه سلسیوس عملیات حرارتی شوند. مدت زمان کلسیناسیون در این دما ۵ ساعت است و پس از آن نمونه به مدت حداقل ۱۲ ساعت در کوره دربسته تا دمای اتاق آنیل می‌شود. سرامیک اکسیدی حاصل سپس مجدداً به صورت مکانیکی خرد شده و در دیسیکاتور خشک تحت فشار کاهش یافته تا زمان انجام سایر مراحل نگهداری می‌شود.

### ۲-۳-۲ دکوراسیون نوری نانوذرات نقره

نیمه‌هادی بودن تیتانیوم نیوبات با نوار ممنوعه در حدود ۳ الکترون‌ولت (معادل انرژی فوتون‌های الکترومغناطیس با طول موج کمتر از ۴۲۰ نانومتر) فرصت جالبی برای کاهش یون‌های نقره بر روی غنی‌ترین بخش‌های سطح از الکترون به شمار می‌آید. بدین منظور ۲۰۰ میلی‌گرم از تیتانیوم نیوبات نانومتخلخل کلیسنه شده و خرد شده به ۵۰ میلی‌لیتر محلول ۰/۱ مولار نیترات نقره افزوده می‌شود. سوسپانسیون حاصل در یک کریستالیزور با قطر زیاد و روی مگنتیک استیرر با استفاده از یک مگنت بلند به آهستگی مخلوط می‌شود و از بالا و بدون وجود هیچ مانعی با ۶ عدد لامپ LED هر کدام به توان ۱ وات و طول موج ۳۶۵ نانومتر (ساخت شرکت EPILEDS تایوان) به مدت یک ساعت تحت تابش قرار می‌گیرد. پس از گذشت زمان کافی (۳۰ دقیقه تا یک ساعت) سوسپانسیون از رنگ سفید به خاکستری تغییر رنگ می‌دهد. ذرات دکور شده سپس به لوله فالکن منتقل و در ۳۵۰۰ دور بر دقیقه سانتریفیوژ می‌شوند. به منظور حذف گونه‌های کاهش نیافته نقره و

### ۲-۴-۲ تجربیات

#### ۲-۴-۲-۱ مواد و روش‌ها

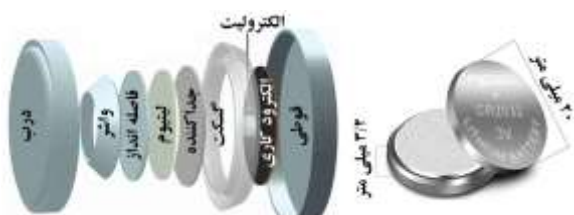
تمامی مواد استفاده شده از درجه سنتزی بوده‌اند و هیچ خالص‌سازی اضافی بر روی آن‌ها انجام نگرفته است. تیتانیوم بوتوکسید با استوکیومتری  $Ti(C_4H_9O)_4$  و خلوص ۹۷ درصد از مرک آلمان و نیوبیوم پنتا کلرید با استوکیومتری  $NbCl_5$  و خلوص ۹۸ درصد از سیگما - آلدريچ آلمان خریداری شدند. به منظور جلوگیری از هیدرولیز سریع این دو ماده خصوصاً پیش‌ماده نیوبیوم باید مقادیر مشخصی از آن‌ها تحت گاز خنثی آرگون و در گلاوباکس بسته‌بندی شود و تنها در هنگام سنتز و با سریع ترین حالت ممکن اضافه شوند. اتانول خشک ۹۹/۸ درصد از کیمیا الکل زنجان و هیدروکلریک اسید ۳۷ درصد و همچنین نیترات نقره از قطران شیمی تهیه شدند. کوپلیمر F127 از سیگما - آلدريچ ایالات متحده تهیه شده بود.

الگوهای پراش پرتوایکس پودری با استفاده از سل‌های شیشه‌ای و دستگاه Rigaku ژاپن از مدل Ultima IV با تابش  $CuK\alpha$  و در محدوده ۱۰ تا ۸۰ درجه با رزولوشن ۰/۰۲ درجه بر گام خوانده شدند. میکروسکوپ الکترونی روبیزی نشر میدان مجهری به آشکارساز آنالیز عنصری EDS از نوع TESCAN (جمهوری چک) مدل ۳ MIRA و پس از اسپاترینگ طلا بر روی نمونه‌های پودری استفاده شد. آنالیز تبدیل فوریه عبور فروسرخ در مد ATR و با دستگاه Equinox 55 (ایالات متحده) مدل 55 Bruker روی نمونه‌های پودری انجام شد. طیف‌سنجدی بازتاب محو با باریم سولفات به عنوان شاهد و دستگاه از نوع SCINCO (کره جنوبی) مدل S-4100 انجام شد.

### ۲-۴-۲-۲ سنتز تیتانیوم نیوبات نانومتخلخل

تیتانیوم بوتوکسید و نیوبیوم پنتا کلرید با نسبت مولی ۱:۲ که قبل از توزین شده و تحت گاز آرگون بسته شده بودند به ۲۰ میلی‌لیتر اتانول خشک در حال به هم خوردن روی مگنتیک استیرر اضافه می‌شوند. بسته به رطوبت محیط و مدت زمان گذشته از تولید نیوبیوم پنتاکلرید توسط شرکت سازنده ممکن است لازم باشد چند قطره اسید هیدروکلریک غلیظ

۰/۸ تا ۳ ولت (نسبت به زوج ردوکس لیتیوم  $\text{Li}^0/\text{Li}^+$ ) قرار داد. دستگاه باتری-تستر استفاده شده در این تحقیق از شرکت NEWARE (چین) و مدل ۴۰۰۰ بود.



شما (۱): اجزاء و ابعاد نیم-پیل لیتیوم از نوع ۲۰۳۲.

### ۳- نتایج و بحث

الگوهای پراش پرتوایکس برای نمونه‌های پودری حاصل (تیتانیوم نیوبات شاهد، نمونه نانوساختار و نمونه دکور شده با نقره) در شکل (۱) نشان داده شده‌اند. تمامی الگوهای پراش با استفاده از کارت استاندارد مربوط به فاز منوکلینیک  $\text{TiNb}_2\text{O}_7$  (شماره ۱۳۷۴-۷۷ در دیتابیس JCPDS) با گروه فضایی  $C2/m$  قابل اندازگذاری هستند. در مورد نمونه دکور شده با نانوذرات نقره هیچ یک از پیک‌های مشخصه فلز نقره که در شکل با نماد "ن" نشان داده شده‌اند در الگوی پراش مشاهده نمی‌شود. این پدیده به محدودیت روش پراش سنجی پرتوایکس پودری در تشخیص مقادیر کم ناخالصی فازی خصوصاً هنگامی که فاز زمینه بلور پیچیده‌ای با پیک‌های شدید و پر تعداد باشد برمی‌گردد.

ساختار کریستالی منوکلینیک تیتانیوم نیوبات با استوکیومتری  $\text{TiNb}_2\text{O}_7$  از نوع برشی وزلی رات<sup>۵</sup> است. در این ساختار، تیتانیوم و نیوبیوم به صورت تصادفی پخش شده‌اند؛ ولی نسبت مولی استوکیومتریک در کل ساختار برقرار است. هر کدام از عناصر مذکور به وسیله شش اتم اکسیژن کوردنده می‌شوند که در نهایت به یک جزء (موتیف) هشت‌وجهی می‌انجامد. هشت‌وجهی‌های مذکور به‌نوبه خود با اشتراک‌گذاری لبه و گوش نظم می‌یابند و کریستال در دامنه بلند تشکیل می‌شود. در این ساختار حفره‌های کریستالی به عنوان میزان برگشت‌پذیر یون‌های لیتیوم عمل می‌کنند و زوج‌های ردوکس عناصر واسطه

اجتناب از جدایش نانوذرات احیاء شده بر روی سرامیک اکسیدی، یک‌بار شستشو با آب مقطر دیونیزه کفايت می‌کند. پودر خاکستری رنگ به دست آمده سپس در شرایط محیط و سپس در دیسکاتور با فشار کاهش یافته خشک می‌شود و تا استفاده بعدی در همین شرایط نگهداری می‌گردد.

### ۴-۲- ساخت نیم پیل سکه‌ای و مشخصه یابی گالوانواستاتیک

نمونه‌های سنتز شده در این مرحله از تحقیق به صورت نیم‌پیل‌های سکه‌ای ۲۰۳۲ درمی‌آیند. شماتیک این نیم‌پیل‌ها در شما (۱) نشان داده شده است. پودر نهایی حاصل از مراحل قبل دوباره تا حد امکان با استفاده از هاون سائیده می‌شود و به صورت دوغاب با پلی وینیلیدین فلوراید ۹۹/۵ درصد از شرکت MTI (چین) به عنوان بایندر و استیلن بلک super-P (MTI) به عنوان افزودنی رسانا با نسبت ۸۰:۱۰ در حال N-متیل پیرولیدون NMP درمی‌آید. لرزش مکانیکی شدید به مدت ۳۰ دقیقه برای اطمینان از همگن شدن دوغاب قبل از لایه نشانی لازم است. از تکنیک doctor blade برای لایه نشانی دوغاب بر روی فویل مس گرید باتری (MTI) قرار گرفته بر روی میز خلا استفاده می‌شود. برای رسیدن به چگالی سطحی ۱/۵ تا ۲ میلی‌گرم بر سانتی‌متر مربع لازم است ابزار doctor blade روی حدود ۲۰ میکرون تنظیم شود. پس از خشک شدن اولیه لایه‌ها با استفاده از نورد گرم متراکم می‌شوند و خشک شدن نهایی در دمای ۱۰۵ درجه سلسیوس و به مدت ۱۰ ساعت در آون خلا صورت می‌گیرد. پس از پانچ کردن، لایه‌های خشک به دست آمده به گلاو باکس آرگون خشک منتقل می‌شوند و با دیگر اجزاء نیم‌پیل مونتاژ می‌گردند (کریمپینگ). این اجزاء شامل چیپس فلز لیتیوم (خلوص ۹۹/۹ درصد شرکت MTI)، غشاء پلی‌پروپیلن به عنوان جداکننده و الکتروولیت  $\text{LiPF}_6$  به غلظت ۱ مولار حل شده در محلول حلal کربنات از شرکت MTI هستند. پس از گذشت چند روز از مونتاژ پیل می‌توان آن را تحت آزمون ظرفیت سنجی گالوانواستاتیک در محدوده ولتاژ

این پیک دو قلو حتی علی‌رغم رزولوشن بالای دستگاه پراش‌سنجدی به صورت یک پیک پهن دیده شوند ولی در مورد نمونه‌های حاضر این پدیده دیده نمی‌شود و پیک‌های دوقلو به خوبی از یکدیگر تشخیص داده می‌شوند.

خلاصه‌ای از نتایج مشخصه‌یابی نمونه‌های مورد مطالعه از جمله پارامترهایی مثل اندازه کریستالیت، کرنش کریستالی، جدایش میانگین بین کریستالی و چگالی ناجایی‌ها که همگی از پهن‌شدگی پیک اصلی مربوط به فاز منوکلینیک در پراش سنجدی پرتوایکس پودری محاسبه شده‌اند در جدول (۱) مشاهده می‌شوند. همچنین در این جدول برای مقایسه مقادیر نوار ممنوعه انرژی و ظرفیت و بازده کولومبی نمونه‌ها ارائه شده است. نحوه دستیابی به این پارامترها در ادامه مورد بحث قرار خواهد گرفت. لازم است توجه شود که پارامترهای کریستالی مهم مثل اندازه کریستالیت و کرنش کریستالی برای همه نمونه‌های مورد مطالعه در یک حدود قرار دارد؛ بدین ترتیب تغییرات فرآیندی پیش از کلسیناسیون مثل استفاده از الگوی نرم F127 و همچنین تغییرات پس از کلسیناسیون مثل دکوراسیون نوری با نانوذرات نقره تأثیر بسزایی در این پارامترهای مهم در زمینه عملکرد الکتروشیمیایی سرامیک نهایی ندارند. اندازه کریستالیت حدود ۱۵ نانومتری به‌دست آمده برای نمونه‌های مورد مطالعه برای کاهش طول مسیر انتقال الکترون و همچنین نفوذ یون لیتیوم، ایجاد فصل مشترک مؤثر و مطلوب بین جامد سرامیکی و الکتروولیت در پیل الکتروشیمیایی و همچنین کم کردن اثر تغییرات حجمی مربوط به فرآیندهای لیتیوم دار شدن و خروج لیتیوم از ساختار کریستالی جالب توجه است و در سایر مطالعات گروه تحقیقاتی ما به عنوان مقدار بهینه به‌دست آمده است [۴۶]. در ابعاد کوچک‌تر، پدیده‌های فصل مشترکی به صورت ایجاد فصل مشترک جامد - الکتروولیت نامطلوب و همچنین جدا شدن ذرات فعل از الکترود طی سیکل‌های شارژ و دشارژ اثر منفی خود را نشان می‌دهند.

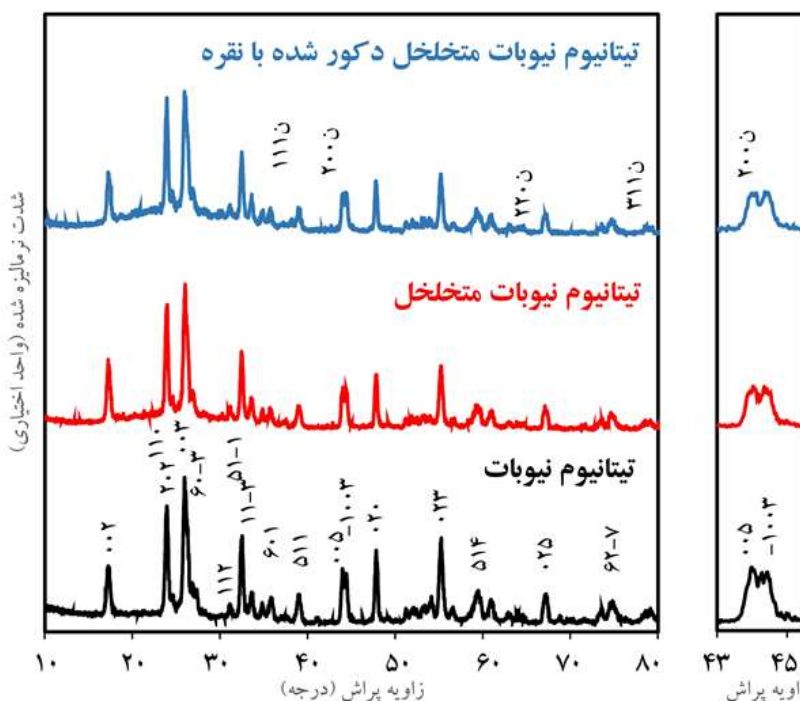
تیتانیوم و نیوبیوم باعث می‌شوند هنگام ورود و خروج یون‌های لیتیوم، خنثی بودن بار الکتریکی کریستال حفظ شود. در این شرایط و با دارا بودن سه زوج ردوکس توسعه دو یون فلزی، امکان میزبانی از تعداد بیشتری یون لیتیوم نسبت به تعداد کلی یون‌های فلزی هم وجود دارد (موسوم به فرا - لیتیوم دار شدن<sup>۹</sup>). حفرات کریستالی مذکور در دو جهت کریستالی ۱۰۰ و ۱۰۰ به هم مربوط می‌شوند و تنها راه ارتباطی بین این دو کانال جهت ۰۰۱ در کریستال است [۵۳].

بیشترین شدت بین پیک‌های پرتوایکس ماده تیتانیوم نیوبات منوکلینیک مربوط به بازتاب صفحه (۳۰۰) و البته به علت داشتن فاصله بین صفحات مشابه بازتاب (۱۱۱) غیرقابل افراق است. در هر سه نمونه مورد مطالعه مطابق شکل ۱ بیشترین شدت مربوط به همین بازتاب به معنای رشد ترجیحی در راستای جهت ۰۰۱ کریستال است و نشانگر موفق بودن روش سنتز در تولید ماده آندی باکیفیت است. همچنین پیک دوقلویی در حدود زاویه پراش ۴۴ درجه مشاهده می‌شود که در سمت زاویه کوچک‌تر مربوط به بازتاب (۰۰۵) و در سمت با زاویه بزرگ‌تر مربوط به بازتاب (۱۰۰۳) است. گروه تحقیقاتی شرکت توشیبا در ثبت اختراع مربوط [۵۳] اشاره کرده‌اند که بهتر است شدت پیک با زاویه بزرگ‌تر از این دو کمتر از دیگری باشد که مجددًا نشانگر رشد ترجیحی و در راستای بهبود نفوذپذیری یون لیتیوم در ساختار کریستالی است. این شرط برای نمونه تیتانیوم نیوبات شاهد برقرار است ولی هنگام الگوگذاری با استفاده از F127 برای تولید سرامیک نانومتلخلخل و سپس دکوراسیون نوری با نانوذرات نقره این نوع رشد ترجیحی اتفاق نمی‌افتد و شدت پیک دوقلوی مذکور برابر می‌شود. البته لازم به ذکر است که پس از دکوراسیون نوری با نانوذرات نقره این نسبت ثابت می‌ماند؛ که به معنای سالم ماندن کامل ساختار کریستالی سرامیک موردنظر در مقیاس بالک پس از عملیات دکوراسیون نوری است. طی مطالعات گروه تحقیقاتی ما مشخص شده که در شرایطی ممکن است

جدول (۱): خلاصه‌ای از نتایج مشخصه‌های فیزیکی، نوری و الکتروشیمیایی نمونه‌های تحت مطالعه.

نمونه	اندازه کربیستالیت (nm)	نوار ممنوعه انرژی (eV)	جداش میانگین بین کربیستالی (nm)	کرنش ( $\times 10^{-3}$ )	چگالی نابجایی‌ها ( $\times 10^3$ )	ظرفیت در نرخ ۱C (mAhg <sup>-1</sup> )	بازده کولومی (%) اوایله
تیتانیوم نیوبات شاهد	۱۵	۲/۹۹	۰/۴۲۷	۱۰/۰۵	۴/۳۶	۹۰	۹۹/۸
تیتانیوم نیوبات متخلخل	۱۵	۳/۰۷	۰/۴۲۷	۱۰/۰۴	۴/۳۶	۱۵۵	۹۹/۲
تیتانیوم نیوبات متخلخل	۱۴	۳/۰۹	۰/۴۲۶	۱۰/۶۶	۴/۹۲	۱۹۹	۹۹/۷

نوار ممنوعه انرژی از برون یابی نمودار تانوک با فرض نوار ممنوعه مستقیم به وسیله رگرسیون خطی بدست آمد.  
 اندازه کربیستالیت با رابطه شود  $D = \frac{k\lambda}{L \cos \theta} = \frac{5\lambda}{8 \sin \theta}$ ,  $D$ , جداش میانگین بین کربیستالی با رابطه  $R = \frac{k\lambda}{4 \tan \theta}$ ,  $R$ , چگالی نابجایی‌ها با رابطه  $\delta = \frac{1}{D^2}$  به دست آمد. در این روابط کا ثابت شود (برابر  $0/۹$ )



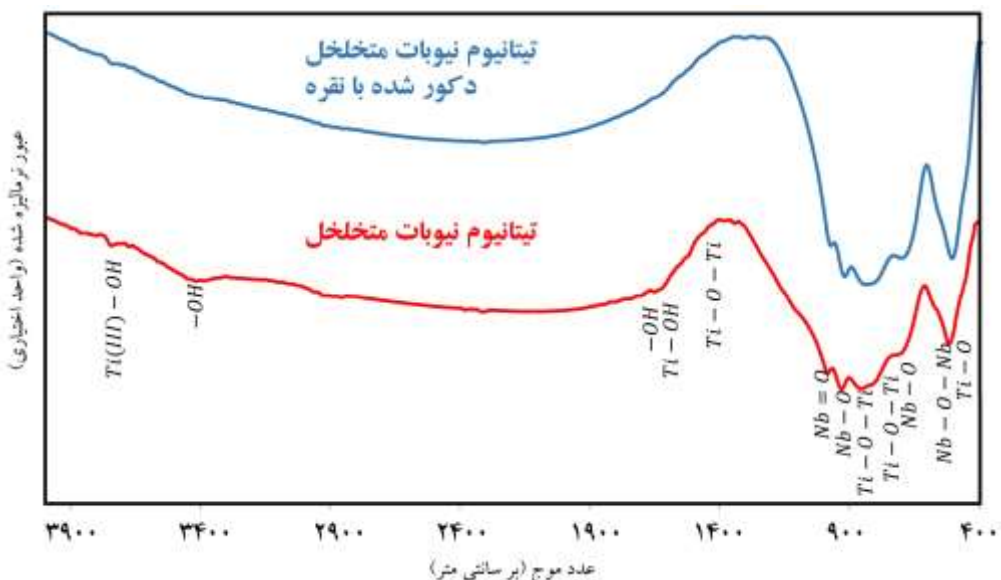
شکل (۱): الگوهای پراش برتوایکس پودری برای نمونه‌های تیتانیوم نیوبات شاهد، تیتانیوم نیوبات متخلخل و تیتانیوم نیوبات متخلخل دکور شده با نقره، تیتانیوم نیوبات بر اساس کارت استاندارد شماره ۱۳۷۴-۷۷ اندیس گذاری شده است. پیک‌های مربوط به نقره فلزی (غایب) با نماد "ن" نشان داده شده‌اند.

۱۶۴۰ بر سانتی‌متر به صورت جزئی دیده می‌شوند که می‌تواند به جذب سطحی رطوبت از محیط پس از کلسیناسیون ربط داده شود. در ۱۴۱۶ بر سانتی‌متر نوار کششی پیوند بین تیتانیوم-اکسیژن-تیتانیوم مشاهده می‌شود که شدت آن بسیار پایین است. اشاره شد که در ساختار برشی وزلی-رات یون‌های تیتانیوم و نیوبیوم به صورت تصادفی در موتیف‌های هشت وجهی مشابه  $\text{ReO}_2$  بین آنیون‌های اکسیژن پخش می‌شوند. در چنین وضعیتی تناوب ایده‌آل وجود ندارد و چنین پیوندی اگرچه با احتمال کم، ولی ممکن است. پیک‌های شدید سمت فرکانس پایین به

روش پراش‌سنگی اشعه ایکس پودری حساسیت مناسبی نسبت به باقی مانده‌های آلی ندارد. به‌منظور اثبات قطعی حذف شدن گونه‌های آلی مورد استفاده در سنتز از نمونه‌های نهایی (پس از کلسیناسیون) طیف‌های تبدیل فوریه عبور فروسرخ در مد بازتاب کلی تضعیف شده تهیه شده‌اند. طیف‌های مربوط در شکل (۲) مشاهده می‌شوند. با شروع از اعداد موج بزرگ (فرکانس بالا) پیک‌های مشاهده شده به ترکیبات آلی برمی‌گردند. هیچ ترکیب آلی حاوی کربن در این نواحی دیده نمی‌شود. خمین و کشش پیوند بین اکسیژن و هیدروژن به ترتیب در ۳۴۳۸ و ۳۴۴۸ بر سانتی‌متر و

کیفیت می‌باشد. در مورد نمونه تیتانیوم نیوبات نانو متخلخل دکور شده با نانوذرات نقره اما هیچ پیک قابل توجه اضافه‌ای مربوط به افروده شدن این ذرات ثانویه دیده نشد.

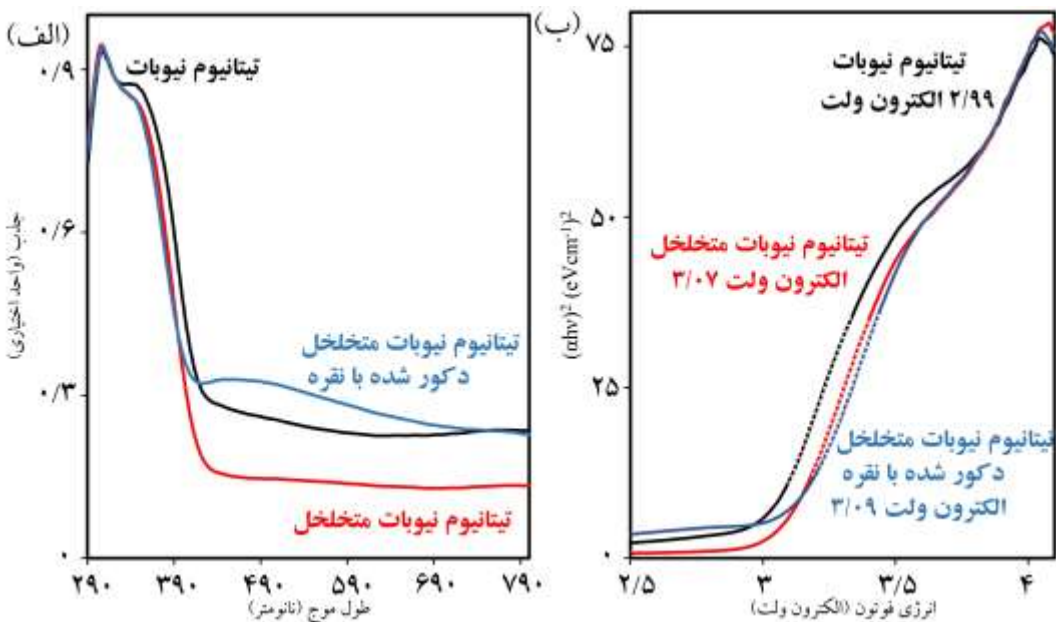
کشش پیوند دو گانه نیوبیوم-اکسیژن در ۹۵۰ بر سانتی‌متر و کشش پیوند نیوبیوم-اکسیژن در ۹۲۴ بر سانتی‌متر و کشش پیوند تیتانیوم-اکسیژن در ۵۲۰ بر سانتی‌متر مربوط هستند که همگی مؤید موفق بودن روش ستز در تولید سرامیک با



شکل (۲): طیف‌های تبدیل فوریه عبور فروسرخ برای نمونه‌های تیتانیوم نیوبات متخلخل و تیتانیوم نیوبات متخلخل دکور شده با نقره.

دقت کافی برخوردار نیست و به همین دلیل از روش‌های دیگری مثل روش تائوک استفاده می‌شود. یان تائوک<sup>۸</sup> با مقایسه طیف جذب ژرمانیوم آمورف و مقایسه آن با انتقالات غیرمستقیم در ژرمانیوم کریستالی پیشنهاد کرد که با استفاده از برونیابی طیف‌های جذب می‌توان نوار ممنوعه نوری چنین نیمه‌هادی‌هایی را اندازه گیری کرد [۵۴، ۵۵]. بدین منظور از طیف جذب نمونه استفاده می‌شود. محور افقی به انرژی فوتون تبدیل می‌شود و سپس محور عمودی با کمیت  $\alpha h\nu^{1/2}$  (رسم می‌گردد که در آن  $\alpha$  ضریب جذب ماده است. در روش اصلاح شده تائوک، اما توان کسر فوق به صورت  $1/\lambda$  در نظر گرفته می‌شود که کمیت  $\lambda$  به طبیعت انتقال الکترونی مربوط است. در مورد انتقالات مستقیم و مجاز مقدار این کمیت برابر  $5/5$  در نظر گرفته می‌شود [۵۶].

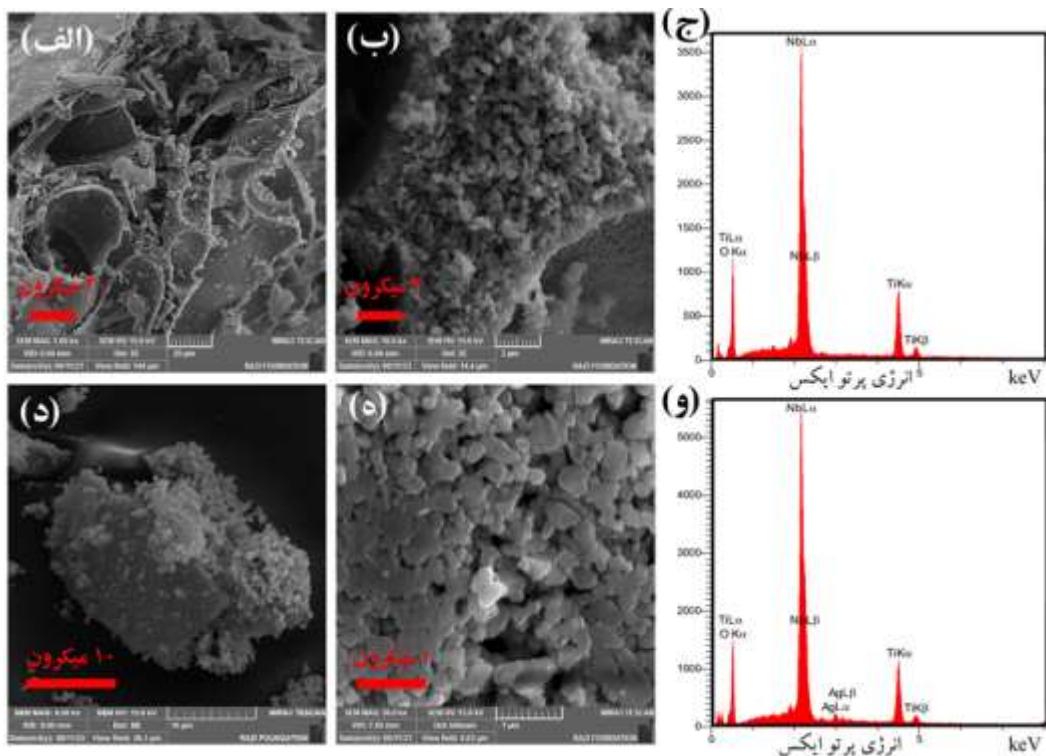
پهنهای نوار ممنوعه نیمه‌هادی‌ها به صورت کمی با بررسی خواص جذب نور آن‌ها قابل اندازه گیری است. بدین منظور از روش طیف‌سنجدی بازتاب محو<sup>۷</sup> و باریم سولفات به عنوان شاهد (بازتاب‌دهنده ایدئال) استفاده می‌شود. طیف‌های خوانده شده برای نمونه‌های موردمطالعه در شکل (۳) نشان داده شده‌اند. رفتار نیمه‌هادی دارای نوار ممنوعه مشخص به خوبی برای هر سه نمونه قابل مشاهده است به نحوی که در طول موج‌های بلند ناحیه مرئی جذب قابل توجهی اندازه گیری نشده؛ ولی با رسیدن به انرژی نوار ممنوعه از حدود طول موج ۴۱۰ نانومتر به صورت ناگهانی جذب بالا می‌رود و یک لبه مشخص را ایجاد می‌کند؛ امتداد دادن این لبه و برونیابی به سمت محور طول موج می‌تواند عدد پهنهای نوار ممنوعه را به دست بدهد؛ ولی استفاده از این روش از



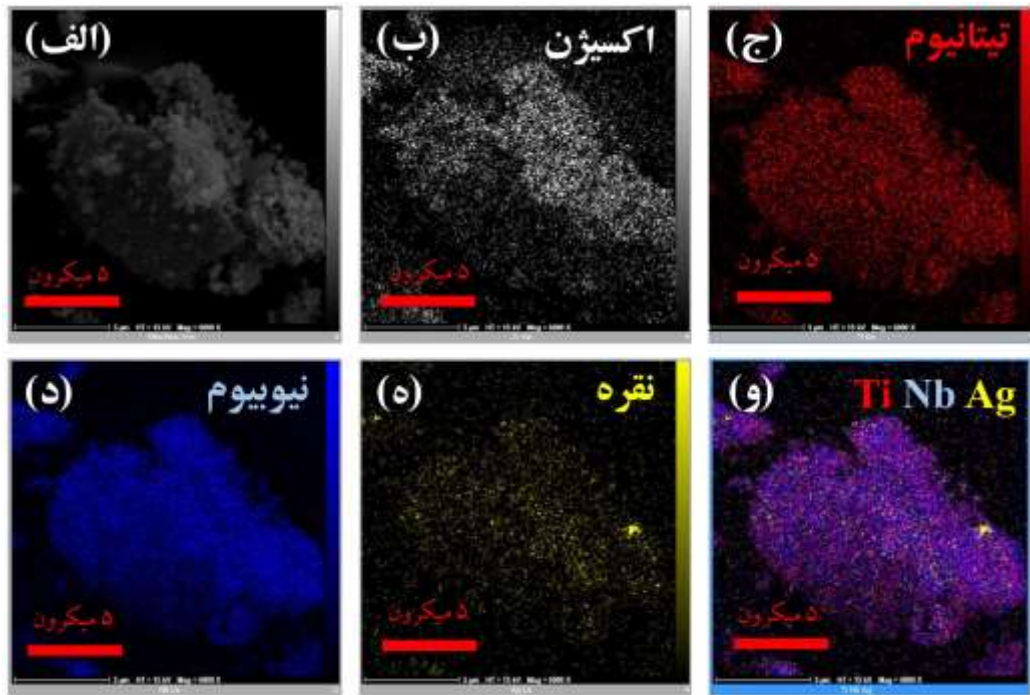
شکل (۳): (الف) طیف‌های بازتاب محو و (ب) تابع تابع نانوک مربوط برای نمونه‌های تیتانیوم نیوبات شاهد، تیتانیوم نیوبات متخلخل و تیتانیوم نیوبات متخلخل دکور شده با نقره.

نقشه‌های توزیع عناصر بر اساس سیگنال اشعه ایکس مشخصه و به صورت چند کاناله اندازه گیری شده‌اند و در شکل (۵) مشاهده می‌شوند. توزیع عناصر اکسیژن، تیتانیوم و نیوبیوم در نمونه کاملاً یکنواخت است و این مشاهده مؤید خلوص فازی و تأکیدی بر نتیجه پراش‌سنجدی پرتولایکس پودری است. در مورد نقره دکور شده اما شرایط متفاوت است. علی‌رغم میزان اندک حضور نقره، توزیع آن اصلاً یکنواخت نیست و با توجه به مکانیزم دوگانه روش دکوراسیون نوری نیمه‌هادی می‌توان نانوذرات پراکنده را به احیای نوری خود به خودی و ذره درشت‌تر را به احیای فتوکاتالیستی روی مرکز سطحی تجمع الکترون نسبت داد. اهمیت افزایش هدایت الکتریکی ماده در کاربردهای الکتروشیمیایی از کوچک بودن مراکز تجمع بار روی سطح آن نسبت به کل سطح در تماس با الکتروولت، دیگر ذرات و جمع‌کننده جریان مشخص است.

روش میکروسکوپی الکترونی روبشی نشر میدان جهت مطالعه مورفلوژی نمونه‌های موردمطالعه استفاده شده است. نتایج حاصل در شکل (۴) ارائه شده‌اند. مشاهده می‌شود که استفاده از الگوی نرم F127 در سنتر سل-ژل باعث تغییر قابل توجه در مورفلوژی سرامیک نهایی شده و ساختار نمونه مذکور به صورت نانومتخلخل و تشکیل شده از کریستالیت‌های بسیار ریز است. از سوی دیگر با دکوراسیون نوری نانوذرات نقره مورفلوژی در ابعاد موردمطالعه تغییر قابل ملاحظه‌ای نشان نمی‌دهد. این مشاهده به کوچک بودن نانوذرات نقره دکور شده با این روش نسبت به حد تشخیص روش برمی‌گردد. طیف‌های آنالیز عنصری ارائه شه در شکل (۴) به خوبی ترکیب شیمیایی سرامیک تیتانیوم نیوبات و همچنین اضافه شدن پیک‌های مربوط به نقره پس از دکوراسیون را نشان می‌دهند.



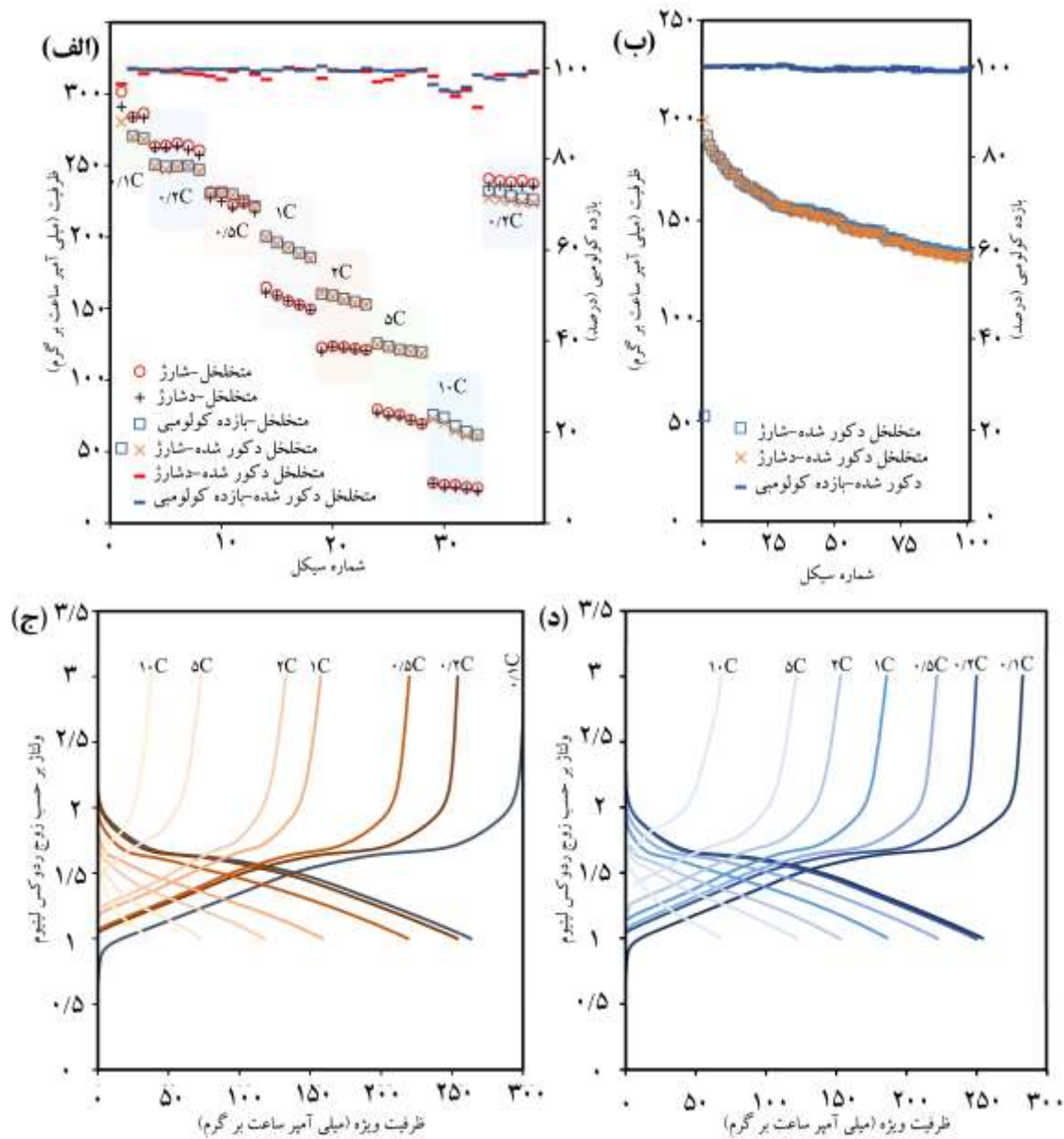
شکل (۴): میکروگراف‌های الکترونی روشنی نشر میدان به همراه طیف‌های پخش انتزی اشعه ایکس برای نمونه‌های تیتانیوم نیوبات متخلخل (الف-ج) و تیتانیوم نیوبات متخلخل دکور شده با نقره (د-و).



شکل (۵): میکروگراف الکترونی روشنی نشر میدان در مدل الکترون بازگشتی (الف) و نقشه‌های توزیع عناصر سازنده به همراه نقشه ترکیبی سه عنصر اصلی تیتانیوم، نیوبیوم و نقره (و) برای نمونه تیتانیوم نیوبات متخلخل دکور شده با نقره.

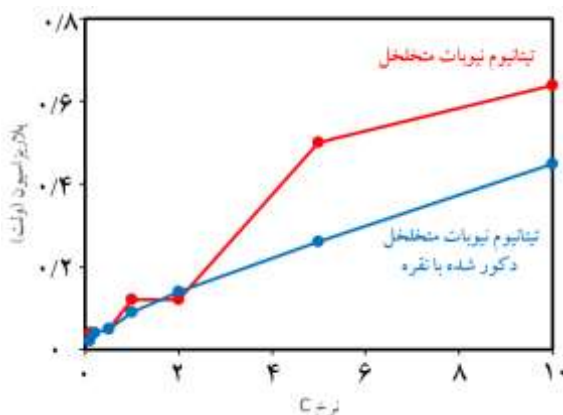
با ذرات نقره آشکار می‌شود. در نرخ‌های بالا (شارژ و دشارژ سریع)، هدایت الکترونی نقش مهمی در تعیین سرعت فرآیندهای شارژ و دشارژ ایفا می‌کند و بدون هدایت کافی، ظرفیت مطلوب نخواهد بود. از سوی دیگر با تری قابل استفاده باید بتواند در تعداد سیکل قابل توجهی ظرفیت مطلوب را حفظ نماید. نمونه بهینه نانومتلخلخل دکور شده با نانوذرات نقره جهت مطالعه این ویژگی تحت نرخ شارژ و دشارژ ۱C (مدت زمان ۱ ساعت برای شارژ و برای دشارژ) و ۱۰۰ سیکل پشت سر هم مورد آزمون قرار گرفته است. مقایسه ظرفیت در سیکل صدم و سیکل دوم حفظ ۶۹ درصدی ظرفیت را نشان می‌دهد. لازم به ذکر است که ظرفیت سیکل اول برای نیم پیل قابل اعتماد نیست چرا که نیم پیل ساخته شده با کاتد خالی از لیتیوم و آند فلز لیتیوم از ابتدا در وضعیت شارژ قرار دارد و صرفاً از سیکل دوم ظرفیت‌ها قابل اعتماد هستند (در پیل کامل است که تیتانیوم نیوبات به عنوان آند عمل می‌کند نه نیم پیل). بخش‌های "ج" و "د" شکل (۶) منحنی‌های شارژ و دشارژ را به ترتیب برای نمونه متلخلخل و نمونه متخلف دکور شده با نقره ارائه می‌کنند.

برای آزمون الکتروشیمیابی نیم‌پیل‌های ساخته شده با نمونه‌های موردمطالعه و فلز لیتیوم به عنوان آند از ظرفیت تئوریک  $387/6$  میلی‌آمپر ساعت بر گرم به منظور محاسبه نرخ C (جريانی که در آن طی یک ساعت با تری شارژ یا دشارژ می‌شود) استفاده شده است. آزمون شارژ و دشارژ گالوانوستاتیک نیم‌پیل‌های سکه‌ای در دمای اتاق انجام شده و نتایج حاصل در شکل (۶) قابل مشاهده‌اند. بخش "الف" شکل (۶) نتایج به دست آمده در نرخ‌های مختلف شارژ و دشارژ و بخش "ب" نتایج آزمون سیکلی نمونه بهینه نانومتلخلخل دکور شده با نانوذرات نقره را نشان می‌دهد. در بررسی نتایج ظرفیت در نرخ‌های مختلف (آزمون نرخی) مشخص است که نمونه متلخلخل (بدون نقره) در نرخ‌های کُند ظرفیت بالاتری دارد. در چنین نرخ‌هایی ظرفیت واستگی زیادی به هدایت الکتریکی ندارد چرا که فرصت لازم برای انجام فرآیندهای انتقال الکترون و ردوکس یون‌های سازنده به ماده داده می‌شود. پس نمونه‌ای که مقدار بیشتری ماده فعال میزان یون لیتیوم دارد ظرفیت ویژه بالاتری به دست خواهد داد و این کاملاً مورد انتظار است. از سوی دیگر با افزایش نرخ شارژ و دشارژ اختلاف بین نمونه متلخلخل و نمونه متخلف دکور شده



شکل (۶): نتایج آزمون ظرفیت سنجی گالوانوستاتیک نیم پیل سکه‌ای در دمای اتاق در (الف) نرخ‌های مختلف برای سه نمونه تیتانیوم نیوبات شاهد، تیتانیوم نیوبات متخخلل و تیتانیوم نیوبات متخخلل دکور شده با نقره و (ب) در طی ۱۰۰ سیکل شارژ و دشارژ در نرخ ۱C برای نمونه تیتانیوم نیوبات نانومتخخلل دکور شده با نانوذرات نقره، (ج) منحنی‌های شارژ و دشارژ برای نمونه تیتانیوم نیوبات متخخلل در نرخ‌های مختلف C و (د) منحنی‌های شارژ و دشارژ برای نمونه تیتانیوم نیوبات متخخلل دکور شده با نقره در نرخ‌های مختلف C.

پلاریزاسیون الکترود در صورت دکور شدن با نقره مشاهده می شود (شکل (۷)).



شکل (۷): میزان پلاریزاسیون در نرخ های مختلف C

در جدول (۲) خلاصه ای از نتیجه به دست آمده در این تحقیق در مقایسه با برخی گزارش های انتخابی در ادبیات موضوع را ارائه می کند. مشاهده می شود که مهندسی مورفولوژی و ایجاد تخلخل به نوبه خود باعث بهبود ظرفیت نرخی تیتانیوم نیوبات شده است. همچنین دوپینگ و دکوراسیون با نقره اثر مثبت در افزایش ظرفیت خصوصاً در نرخ های بالا دارند. لازم به توجه است که میزان نقره استفاده شده در گزارش های قبلی و نحوه دکوراسیون آنها با گزارش حاضر متفاوت بوده و تفاوت مشاهده شده در عدد مطلق ظرفیت بدین ترتیب قابل توجیه است.

مطالعات الکتروشیمیایی نشان داده اند که هنگام شارژ و دشارژ در محدوده  $0/3$  تا  $0/8$  ولت نسبت به زوج ردوکس لیتیوم، انجام واکنش های ردوکس در ولتاژ های  $1/68$  ولت و  $1/45$  ولت مشاهده می شوند که به هر دو زوج ردوکس  $Ti^{4+}/Ti^{3+}$  و  $Nb^{5+}/Nb^{4+}$  مربوط می شود. احیاء در ولتاژ  $1/75$  ولت می تواند به تغییر والانس جزئی  $Ti^{4+}/Ti^{3+}$  در تیتانیوم نیوبات ربط داده شود [۵۷-۵۸]. جابجایی اندکی در پیک های احیاء پس از سیکل اول به سمت ولتاژ بالاتر مشاهده شده که احتمالاً به علت تغییر در ساختار الکترونی الکترود کاری تیتانیوم نیوبات مربوط است چرا که یون های لیتیوم به صورت برگشت ناپذیر وارد شبکه آن می شوند (توجه به این نکته ضروری است که بازده کولومبی در سیکل اول  $100$  درصد نیست). ولتاژ میانگین ذخیره سازی لیتیوم در حدود  $1/64$  ولت و پلاریزاسیون سیکل های بعدی کمتر از سیکل نخست مشاهده شده است؛ بدان معنا که کیتیک واکنش پس از سیکل نخست بهبود پیدا می کند [۵۹].

منحنی های شارژ و دشارژ تیتانیوم نیوبات (بخش های "ج" و "د" شکل (۶)) به سه بخش تقسیم می شوند؛ ولتاژ مدار باز  $0/30$  ولت به سرعت با شروع دشارژ تا حدود  $2$  ولت کاهش می یابد. سپس منحنی دشارژ طی یک شیب از  $1/2$  ولت تا  $1/6$  ولت و سپس یک شیب از  $1/6$  ولت تا  $1/10$  ولت کاهش می یابد. در ادامه یک شیب از  $1/10$  ولت تا  $1/16$  ولت و سپس یک شیب از  $1/16$  ولت تا  $1/20$  ولت کاهش می یابد. مورد جالب توجه دیگر قابل مشاهده در مورد نمودارهای شارژ و دشارژ گالوانو استاتیک، تفاوت بین بخش صاف شاخه های شارژ و دشارژ در نرخ های مختلف است که برای هر دو نمونه مورد مطالعه با افزایش نرخ زیاد می شود. این کمیت در واقع پلاریزاسیون الکترود است و افزایش آن باعث کاهش ظرفیت و جلوگیری از انجام واکنش های دخول و خروج لیتیوم توسط الکترود می شود. در نرخ های پایین (تا  $2C$ ) تفاوت چندانی بین نمونه متخلخل و نمونه متخلخل دکور شده با نقره مشاهده نمی شود اما با افزایش نرخ شارژ و دشارژ این تفاوت معنی دار و به صورت کاهش

سینک های الکترونی جهت بهبود هدایت الکتریکی بین ذرات و همچنین بین ذرات فعال و جمع کننده جریان در مناسب ترین موقعیت قرار بگیرند که لزوماً روی کل سطح ذرات به صورت یکنواخت پراکنده نیست. مطالعات الکتروشیمیایی نیم پیل در برابر فلز لیتیوم به عنوان آند نشان دادند که دکوراسیون با نانوذرات نقره باعث کاهش پلاریزاسیون خصوصاً در نرخ های کاری بالا می شود و با توجه به میزان آند ک نقره استفاده شده برای کاربرد عملی بسیار مناسب است. مطالعات بهینه سازی آندهای باتری لیتیوم یون بر پایه تیتانیوم نیوبات در گروه تحقیقاتی ما جهت گسترش دانش فنی و همچنین تعمیق دانش در این زمینه ادامه دارد. امید است بخشی از پژوهه که در اینجا ارائه شد مقبول جامعه علمی ایران قرار گیرد.

### تقدیر و تشکر

نویسندهای از کمک های مالی، علمی و عملی ستاد نانو، کمیته ملی باتری نانو (بالاخص جناب آقای مهندس باقریان) و دانشگاه صنعتی خواجه نصیرالدین طوسی (بالاخص جناب آقای مهندس علیزاده) تشکر می نمایند. همچنین از کمک های بی دریغ جناب آقای مهندس محمد رحمانی (دانشکده مهندسی مکانیک دانشگاه تهران) و جناب آقای دکتر حامد آقامحمدی (دانشگاه صنعتی خواجه نصیرالدین طوسی) کمال تشکر به عمل می آید.

### ۵- مراجع

[1] Y. He, K. Xiang, W. Zhou, Y. Zhu, X. Chen & H. Chen, "Folded-hand silicon/carbon three-dimensional networks as a binder-free advanced anode for high-performance lithium-ion batteries", Chemical Engineering Journal, vol. 353, pp. 666-678, 2018.

[2] K. Jeong, J. M. Kim, S. Kim & G. Y. Jung, "Carbon-Nanotube-Cored Cobalt Porphyrin as a 1D Nanohybrid Strategy for High-Performance Lithium-Ion Battery Anodes", Advanced Functional Materials, vol. 29, no. 24, p. 1806937, 2019.

جدول (۲): مقایسه نتایج ظرفیت نرخی تیتانیوم نیوبات های ساخته شده در ادبیات موضوع و مطالعه حاضر.

موجع	روش	رفتار نرخی		تراكیب
		C	ظرفیت*	
[۳۷]	سولوترمال	۰/۲ ۱	۲۵۰ ۱۹۷	حالص $TiNb_2O_7$
[۶۰]	مکانوشیمیایی	۰/۵ ۱	۲۵۵ ۲۴۰	حالص $TiNb_2O_7$
[۶۱]	مکانوشیمیایی	۰/۲ ۱	۲۵۰ ۲۳۰	دوب شده $Tb:TiNb_2O_7$
[۳۱]	سولوترمال	۰/۵ ۱	۳۲۰ ۲۹۵	دوب شده $V:TiNb_2O_7$
[۳۵]	سولوترمال	۱ ۱۰	۲۹۰ ۲۰۰	دکور شده $Ag/TiNb_2O_7$
[۳۴]	سولوترمال	۰/۱ ۱	۳۰۰ ۲۴۰	دکور شده $Ag/TiNb_2O_7$
[۴۶]	سل-ڈل	۰/۱ ۱	۲۶۰ ۹۰	حالص $TiNb_2O_7$
مطالعه حاضر	سل-ڈل	۰/۱ ۱	۲۸۰ ۱۵۰	حالص $TiNb_2O_7$
	دکوراسیون نوری	۰/۱ ۱	۲۷۰ ۱۸۰	دکور شده $Ag/TiNb_2O_7$

\* با واحد میلی آمپر ساعت بر گرم ماده فعل

### ۴- نتیجه گیری

استوکیومتری  $TiNb_2O_7$  به عنوان غنی ترین ترکیب حالص از تیتانیوم در دیاگرام فازی اکسید تیتانیوم-اکسید نیوبیوم است و به عنوان یک آند جایگزین برای نسل اول گرافیت و نسل دوم لیتیوم تیتانات مدنظر قرار گرفته است. افزایش هدایت الکتریکی و یونی این ماده برای گسترش کاربرد عملی آن ضرورت دارد. در پژوهش حاضر، ایجاد تخلخل به ابعاد مناسب با استفاده از الگوی نرم F127 و همچنین دکوراسیون نوری نانوذرات نقره بر روی مراکز سطحی تجمع الکترون بر خواص و همچنین رفتار نرخی و سیکلی تیتانیوم نیوبات نشان داده شد. خلوص فازی بالا به همراه رشد ترجیحی در راستای کانال نفوذ سریع یون لیتیوم و اندازه کریستالیت حدود ۱۵ نانومتر بدون وجود باقیمانده های آلی پس از کلسیناسیون، نوار ممنوعه نوری حدود ۳ الکترونولت و مورفولوژی متخلخل برای نمونه های سنتز شده به دست آمد. روش دکوراسیون نوری با استفاده از الکترون های تهییج شده روی سطح نیمه هادی برای احیاء گونه های محلول نقره باعث می شود این

- [14] C. J. Orendorff & D. H. Doughty, "Lithium ion battery safety", *The Electrochemical Society Interface*, vol. 21, no. 2, pp. 35-35, 2012.
- [15] S. Scharner, W. Weppner & P. Schmid-Beurmann, "Evidence of Two-Phase Formation upon Lithium Insertion into the Li<sub>1.33</sub>Ti<sub>1.67</sub>O<sub>4</sub> Spinel", *Journal of the Electrochemical Society*, vol. 146, no. 3, pp. 857-861, 1999.
- [16] M. Wagemaker, D. R. Simon, E. Kelder & J. Schoonman, "A kinetic two-phase and equilibrium solid solution in spinel Li<sub>4+x</sub>Ti<sub>5</sub>O<sub>12</sub>", *Advanced Materials*, vol. 18, no. 23, pp. 3169-3173, 2006.
- [17] J. F. Colin, V. Godbole & P. Novák, "In situ neutron diffraction study of Li insertion in Li<sub>4</sub>Ti<sub>5</sub>O<sub>12</sub>", *Electrochemistry communications*, vol. 12, no. 6, pp. 804-807, 2010.
- [18] N. Kumagai, Y. Koishikawa, S. Komaba & N. Koshiba, "Thermodynamics and Kinetics of Lithium Intercalation into Nb<sub>2</sub>O<sub>5</sub> Electrodes for a 2 V Rechargeable Lithium Battery", *Journal of the Electrochemical Society*, vol. 146, no. 9, p. 3203, 1999.
- [19] A. L. Viet, M. Reddy, R. Jose, B. Chowdari & S. Ramakrishna, "Nanostructured Nb<sub>2</sub>O<sub>5</sub> polymorphs by electrospinning for rechargeable lithium batteries", *The Journal of Physical Chemistry C*, vol. 114, no. 1, pp. 664-671, 2010.
- [20] H. Zhang, Y. Wang, P. Liu, S. L. Chou & et al., "Highly ordered single crystalline nanowire array assembled three-dimensional Nb<sub>3</sub>O<sub>7</sub> (OH) and Nb<sub>2</sub>O<sub>5</sub> superstructures for energy storage and conversion applications", *ACS nano*, vol. 10, no. 1, pp. 507-514, 2016.
- [21] V. Pralong, A. R. Munnangi, V. Caaignaert & S. Malo, "A new form of LiNbO<sub>3</sub> with a lamellar structure showing reversible lithium intercalation", *Chemistry of Materials*, vol. 23, no. 7, pp. 1915-1922, 2011.
- [22] Q. Fan, L. Lei & Y. Sun, "Facile synthesis of a 3D-porous LiNbO<sub>3</sub> nanocomposite as a novel electrode material for lithium ion batteries", *Nanoscale*, vol. 6, no. 13, pp. 7188-7192, 2014.
- [23] J. T. Han, D. Q. Liu, S. H. Song, Y. Kim & J. B. Goodenough, "Lithium ion intercalation performance of niobium oxides: KNb<sub>5</sub>O<sub>13</sub> and K<sub>6</sub>Nb<sub>10</sub>.8O<sub>30</sub>", *Chemistry of Materials*, vol. 21, no. 20, pp. 4753-4755, 2009.
- [24] Y. Lu, J. B. Goodenough, G. K. P. Dathar, G. Henkelman, J. Wu & K. Stevenson, "Behavior of
- [3] J. R. Miller, "Valuing reversible energy storage", *Science*, vol. 335, no. 6074, pp. 1312-1313, 2012.
- [4] M. Li, J. Lu, Z. Chen & K. Amine, "30 years of lithium-ion batteries", *Advanced Materials*, vol. 30, no. 33, p. 1800561, 2018.
- [5] Y. G. Guo, J. S. Hu & L. J. Wan, "Nanostructured materials for electrochemical energy conversion and storage devices", *Advanced Materials*, vol. 20, no. 15, pp. 2878-2887, 2008.
- [6] L. Ji, Z. Lin, M. Alcoutlabi & X. Zhang, "Recent developments in nanostructured anode materials for rechargeable lithium-ion batteries", *Energy & Environmental Science*, vol. 4, no. 8, pp. 2682-2699, 2011.
- [7] J. R. Dahn, T. Zheng, Y. Liu & J. Xue, "Mechanisms for lithium insertion in carbonaceous materials", *Science*, vol. 270, no. 5236, pp. 590-593, 1995.
- [8] K. Sato, M. Noguchi, A. Demachi, N. Oki & M. Endo, "A mechanism of lithium storage in disordered carbons", *Science*, vol. 264, no. 5158, pp. 556-558, 1994.
- [9] K. Persson, V. A. Sethuraman, L. J. Hardwick, Y. Hinuma, Y. S. Meng, A. Van Der Ven & V. Srinivasan, "Lithium diffusion in graphitic carbon," *The journal of physical chemistry letters*, vol. 1, no. 8, pp. 1176-1180, 2010.
- [۱۰] س. ع. حسینی مرادی، ن. قبادی و م. امیرزاده، "ساخت الکترودهای ابرخازنی نیکل منگنز اکسید (NiMnO<sub>3</sub>) نانوصفحه‌ای با استفاده از روش سنتز هیدروترمال"، فرآیندهای نوین در مهندسی مواد، دوره ۲، شماره ۱۷، ص ۲۵-۳۳.
- [11] M. Azadfallah, A. Sedghi, A. Mehdikhani & H. Hosseini, "Enhancing Electrochemical Performance of Super capacitors Electrode Using Nickel-Based Metal-Organic", *Advanced Processes in Materials Engineering*, vol. 3, no. 16, pp. 55-70, 1401. [Online]. Available: <http://sanad.iau.ir/fa/Article/1089929>.
- [12] X. Wu, J. Wang, F. Ding, X. Chen, E. Nasybulin, Y. Zhangad & J. G. Zhang, "Lithium metal anodes for rechargeable batteries", *Energy & Environmental Science*, vol. 7, no. 2, pp. 513-537, 2014.
- [13] N. Nitta, F. Wu, J. T. Lee & G. Yushin, "Li-ion battery materials: present and future", *Materials today*, vol. 18, no. 5, pp. 252-264, 2015.

- [35] G. Liu, X. Liu, Y. Zhao, X. Ji & J. Guo, "Synthesis of Ag-coated TiNb<sub>2</sub>O<sub>7</sub> composites with excellent electrochemical properties for lithium-ion battery", Materials Letters, vol. 197, pp. 38-40, 2017.
- [36] H. Aghamohammadi, N. Hassanzadeh & R. Eslami-Farsani, "A review study on titanium niobium oxide-based composite anodes for Li-ion batteries: Synthesis, structure, and performance", Ceramics International, vol. 47, no. 19, pp. 26598-26619, 2021.
- [37] H. Aghamohammadi, R. Eslami-Farsani & H. I. Oskouei, "Electrochemical performance of TiNb<sub>2</sub>O<sub>7</sub>/graphene/CNTs hybrid nanocomposites as anode materials for Li-ion batteries", Diamond and Related Materials, vol. 141, p. 110654, 2024.
- [38] H. Aghamohammadi & R. Eslami-Farsani, "Effects of calcination parameters on the purity, morphology, and electrochemical properties of the synthesized TiNb<sub>2</sub>O<sub>7</sub> by the solvothermal method as anode materials for Li-ion batteries", Journal of Electroanalytical Chemistry, vol. 917, p. 116394, 2022.
- [39] H. I. Oskouei, H. Aghamohammadi & R. Eslami-Farsani, "Electrochemical performance of TiNb<sub>2</sub>O<sub>7</sub> nanoparticles anchored with different contents of MWCNTs as anode materials for Li-ion batteries", Ceramics International, vol. 48, no. 10, pp. 14717-14725, 2022.
- [40] H. Aghamohammadi & R. Eslami-Farsani, "Synthesis and electrochemical performance of TiNb<sub>2</sub>O<sub>7</sub> nanoparticles grown on electrochemically prepared graphene as anode materials for Li-ion batteries", Journal of Power Sources, vol. 535, p. 231418, 2022.
- [41] Y. Wu, D. Liu, D. Qu & J. Li, "Porous oxygen-deficient TiNb<sub>2</sub>O<sub>7</sub> spheres wrapped by MXene as high-rate and durable anodes for liquid and all-solid-state lithium-ion batteries," Chemical Engineering Journal, vol. 438, p. 135328, 2022.
- [42] H. Aghamohammadi, N. Hassanzadeh & R. Eslami-Farsani, "A comprehensive review study on pure titanium niobium oxide as the anode material for Li-ion batteries", Journal of Alloys and Compounds, vol. 911, p. 165117, 2022.
- [43] S. R. Kia & M. Khodaei, "Synthesis of TiNb<sub>2</sub>O<sub>7</sub> by mechanical alloying and subsequent heat treatment as an anode material for Li-ion batteries", in 2023 5th Iranian International Conference on Microelectronics (IICM), 2023: IEEE, pp. 195-198.
- Li guest in KNb<sub>5</sub>O<sub>13</sub> host with one-dimensional tunnels and multiple interstitial sites", Chemistry of Materials, vol. 23, no. 13, pp. 3210-3216, 2011.
- [25] G. Li, X. Wang & X. Ma, "Tetragonal VNb<sub>9</sub>O<sub>24.9</sub>-based nanorods: a novel form of lithium battery anode with superior cyclability", Journal of Materials Chemistry A, vol. 1, no. 40, pp. 12409-12412, 2013.
- [26] J. T. Han & J. B. Goodenough, "3-V full cell performance of anode framework TiNb<sub>2</sub>O<sub>7</sub>/spinel LiNi<sub>0.5</sub>Mn<sub>1.5</sub>O<sub>4</sub>", Chemistry of materials, vol. 23, no. 15, pp. 3404-3407, 2011.
- [27] J. T. Han, Y. H. Huang & J. B. Goodenough, "New anode framework for rechargeable lithium batteries", Chemistry of Materials, vol. 23, no. 8, pp. 2027-2029, 2011.
- [28] C. Yang, D. Ma, J. Yang & M. Manawan, "Crystallographic Insight of Reduced Lattice Volume Expansion in Mesoporous Cu<sup>2+</sup>-Doped TiNb<sub>2</sub>O<sub>7</sub> Microspheres during Li<sup>+</sup> Insertion", Advanced Functional Materials, vol. 33, no. 15, p. 2212854, 2023.
- [29] H. Choi, T. Kim & H. Park, "Defect engineering of TiNb<sub>2</sub>O<sub>7</sub> compound for enhanced Li-ion battery anode performances", Electrochimica Acta, vol. 404, p. 139603, 2022.
- [30] C. Lei, X. Qin, S. Huang, T. Wei & Y. Zhang, "Mo-Doped TiNb<sub>2</sub>O<sub>7</sub> Microspheres as Improved Anode Materials for Lithium-Ion Batteries", ChemElectroChem, vol. 8, no. 17, pp. 3379-3383, 2021.
- [31] K. Liu, J. A. Wang, J. Yang, D. Zhao & et al., "Interstitial and substitutional V<sup>5+</sup>-doped TiNb<sub>2</sub>O<sub>7</sub> microspheres: a novel doping way to achieve high-performance electrodes", Chemical Engineering Journal, vol. 407, p. 127190, 2021.
- [32] A. Shi, Y. Zhang, Sh. Geng, X. Song & et al., "Highly oxidized state dopant induced Nb-O bond distortion of TiNb<sub>2</sub>O<sub>7</sub> for extremely fast-charging batteries", Nano Energy, vol. 123, p. 109349, 2024.
- [33] Y. Zhang, M. Zhang, Y. Liu, H. Zhu & et al., "Oxygen vacancy regulated TiNb<sub>2</sub>O<sub>7</sub> compound with enhanced electrochemical performance used as anode material in Li-ion batteries", Electrochimica Acta, vol. 330, p. 135299, 2020.
- [34] X. Zhang, Z. Zhang, J. Zhang, W. Mao, K. Bao & Y. Qian, "Nano silver modified TiNb<sub>2</sub>O<sub>7</sub> as high-rate lithium-ion storage materials", Inorganic Chemistry Communications, vol. 151, p. 110422, 2023.

electrolyte battery and battery pack", USA Patent Appl. 13/281,968, 2016.

[54] J. Tauc, "Optical properties and electronic structure of amorphous Ge and Si", Materials research bulletin, vol. 3, no. 1, pp. 37-46, 1968.

[55] J. Tauc, R. Grigorovici & A. Vancu, "Optical properties and electronic structure of amorphous germanium", physica status solidi (b), vol. 15, no. 2, pp. 627-637, 1966.

[56] P. Yu, "Fundamentals of semiconductors", Springer, 2005.

[57] L. Kavan, M. Zukalová, M. Kalbáč & M. Graetzel, "Lithium insertion into anatase inverse opal", Journal of the Electrochemical Society, vol. 151, no. 8, p. A1301, 2004.

[58] P. Roy, S. Berger & P. Schmuki, "TiO<sub>2</sub> nanotubes: synthesis and applications", Angewandte Chemie International Edition, vol. 50, no. 13, pp. 2904-2939, 2011.

[59] X. Lu, Z. Jian, Zh. Fang, L. Gu & et al., "Atomic-scale investigation on lithium storage mechanism in TiNb<sub>2</sub>O<sub>7</sub>", Energy & Environmental Science, vol. 4, no. 8, pp. 2638-2644, 2011.

[60] J. Fan, Zh. Chen, Ch. Liang, K. Tao & et al., "10 μm-Level TiNb<sub>2</sub>O<sub>7</sub> Secondary Particles for Fast-Charging Lithium-Ion Batteries", Chemistry—A European Journal, vol. 30, no. 6, p. e202302857, 2024.

[61] Y. Zhang, C. Kang, W. Zhao, B. Sun & et al., "Crystallographic engineering to reduce diffusion barrier for enhanced intercalation pseudocapacitance of TiNb<sub>2</sub>O<sub>7</sub> in fast-charging batteries," Energy Storage Materials, vol. 47, pp. 178-186, 2022.

## ۶- پی‌نوشت

[1] Zero Strain

[2] John B. Goodenough

[3] Evaporation-Induced Self-Assembly

[4] Xerogel

[5] Wadsley-Roth Crystallographic Shear Structure

[6] Overlithiation

[7] Diffuse Reflectance Spectroscopy (DRS)

[8] Jan Tauc

[9] Open Circuit Voltage

[10] Plateau

[44] G. B. Thiagarajan, V. Shanmugam, M. Wilhelm, S. Mathur, S. B. Moodakare & R. Kumar, "TiNb<sub>2</sub>O<sub>7</sub>-Keratin derived carbon nanocomposites as novel anode materials for high-capacity lithium-ion batteries", Open Ceramics, vol. 6, p. 100131, 2021.

[45] B. Guo, X. Yu, X. G. Sun, M. Chi & et al., "A long-life lithium-ion battery with a highly porous TiNb<sub>2</sub>O<sub>7</sub> anode for large-scale electrical energy storage", Energy & Environmental Science, vol. 7, no. 7, pp. 2220-2226, 2014.

[46] A. Rahmani & M. Khodaei, "Hard and soft templating approaches in evaporative sol-gel synthesis of TiNb<sub>2</sub>O<sub>7</sub> nanostructures as active materials for Li-ion batteries", Journal of Sol-Gel Science and Technology, pp. 1-11, 2024.

[47] L. Hu, C. Lin, C. Wang & Y. Chao, "TiNb<sub>2</sub>O<sub>7</sub> nanorods as a novel anode material for secondary lithium-ion batteries", Functional Materials Letters, vol. 9, no. 06, p. 1642004, 2016.

[48] S. Lou, X. Cheng, Y. Zhao, A. Lushington & et al., "Superior performance of ordered macroporous TiNb<sub>2</sub>O<sub>7</sub> anodes for lithium ion batteries: understanding from the structural and pseudocapacitive insights on achieving high rate capability", Nano Energy, vol. 34, pp. 15-25, 2017.

[49] H. Li, Y. Zhang, Y. Tang, F. Zhao & et al., "TiNb<sub>2</sub>O<sub>7</sub> nanowires with high electrochemical performances as anodes for lithium ion batteries", Applied Surface Science, vol. 475, pp. 942-946, 2019.

[50] L. Fei, Y. Xu, X. Wu, Y. Li & et al., "SBA-15 confined synthesis of TiNb<sub>2</sub>O<sub>7</sub> nanoparticles for lithium-ion batteries", Nanoscale, vol. 5, no. 22, pp. 11102-11107, 2013.

[51] H. Li, L. Shen, J. Wang, Sh. Fang & et al., "Three-dimensionally ordered porous TiNb<sub>2</sub>O<sub>7</sub> nanotubes: A superior anode material for next generation hybrid supercapacitors", Journal of Materials Chemistry A, vol. 3, no. 32, pp. 16785-16790, 2015.

[52] K. J. Griffith, I. D. Seymour, M. A. Hope, M. M. Butala, L. K. Lamontagne & et al., "Ionic and electronic conduction in TiNb<sub>2</sub>O<sub>7</sub>", Journal of the American Chemical Society, vol. 141, no. 42, pp. 16706-16725, 2019.

[53] Y. Harada, N. Takami, H. Inagaki & Y. Yoshida, "Battery active material, nonaqueous